Espoir de construction d'une décomposition W-cellulaire de G/B via une stratification de $\mathbb{R}^{2\ell(w_0)}$

Arthur Garnier 6 août 2019

On prend G un groupe algébrique complexe semi-simple connexe et simplement connexe, $T^{\mathbb{C}}$ un tore maximal, B un Borel contenant T, K une forme réelle compacte de G, de tore maximal $T = K \cap B$ et on note \mathfrak{g} (resp. \mathfrak{h} , \mathfrak{b} , \mathfrak{t} , \mathfrak{t}) l'algèbre de Lie de G (resp. de $T^{\mathbb{C}}$, B, K, T). On note également Φ le système de racine associé à G et $T^{\mathbb{C}}$, Φ_+ les racines positives, Π les racines simples et $W = N_G(T^{\mathbb{C}})/T^{\mathbb{C}} = N_K(T)/T$ le groupe de Weyl. On choisit ensuite un système de générateurs de Serre $(e_{\alpha}, f_{\alpha}, h_{\alpha})_{\alpha \in \Phi_+}$ et on pose

$$\forall \alpha \in \Phi_+, \ u_\alpha := \frac{e_\alpha - f_\alpha}{2}, \ v_\alpha := \frac{i(e_\alpha + f_\alpha)}{2}, \ w_\alpha := \frac{ih_\alpha}{2}.$$

pour se comprendre, on pourrait appeler cela la "base de Pauli" de \mathfrak{k} . On a alors les relations "quaternioniques"

$$\forall \alpha \in \Phi_+, \ [u_\alpha, v_\alpha] = w_\alpha, \ [v_\alpha, w_\alpha] = u_\alpha, \ [w_\alpha, u_\alpha] = v_\alpha.$$

Si l'on note $\kappa^{\mathbb{C}}$ la forme de Killing de \mathfrak{g} et κ sa restriction à \mathfrak{k} , alors il est connu que, puisque K est compact, κ est définie négative sur \mathfrak{k} . On note alors $\langle \ , \ \rangle := -\kappa$ le produit scalaire associé sur \mathfrak{k} . De plus, par construction de la forme réelle compacte K, on a

$$\mathfrak{k} = \bigoplus_{\alpha \in \Pi} \mathbb{R} w_{\alpha} \oplus^{\perp} \bigoplus_{\alpha \in \Phi_{\perp}}^{\perp} (\mathbb{R} u_{\alpha} \oplus^{\perp} \mathbb{R} v_{\alpha}).$$

Exemple 1. On peut prendre $G = SL_3(\mathbb{C})$, $K = SU_3(\mathbb{C})$, et tout le toutim usuel. On a dans ce contexte $\kappa^{\mathbb{C}}(x,y) = 6\text{tr}(xy)$ et $\kappa(x,y) = 6\text{tr}(xy)$ et on note $\Phi_+ = \{\alpha,\beta,\alpha+\beta\}$. Les vecteurs $(u_\delta)_\delta$ sont orthogonaux entre eux, ainsi que les $(v_\delta)_\delta$ et $u_\delta \perp v_\delta \perp w_\delta \perp u_\delta$. Cependant, w_α et w_β ne sont pas orthogonaux. On peut poser $w_c := \frac{w_\alpha + 2w_\beta}{\sqrt{3}}$. Dans ce cas, $(u_\alpha, u_\beta, u_{\alpha+\beta}, v_\alpha, v_\beta, v_{\alpha+\beta}, w_\alpha, w_c)$ est une base orthogonale de \mathfrak{k} dont tous les vecteurs sont de norme $\sqrt{3}$ (je ne normalise pas, afin de garder les relations quaternioniques).

On choisit un élément régulier $t_0 \in \mathfrak{t}$ et on définit alors une application lisse (et propre)

$$\sigma : K/T \longrightarrow \mathfrak{k}/\mathfrak{t}
kT \longmapsto \operatorname{pr}_{\mathfrak{k}/\mathfrak{t}}(\operatorname{Ad}_k(t_0))$$

où $\operatorname{pr}_{\mathfrak{k}/\mathfrak{t}}:\mathfrak{k} \to \mathfrak{k}/\mathfrak{t}$ désigne la projection canonique. Si l'on note $U:=\operatorname{Vect}_{\mathbb{R}}(u_{\alpha},\ \alpha\in\Phi_{+})$ et $V:=\operatorname{Vect}_{\mathbb{R}}(v_{\alpha},\ \alpha\in\Phi_{+})$, alors on a $\mathfrak{k}=\mathfrak{t}\oplus U\oplus V$ et l'écriture en coordonnées donne alors une application lisse

$$\sigma : K/T \longrightarrow \mathbb{R}^{2|\Phi_{+}|}$$

$$kT \longmapsto \left(\left(\left\langle t_{0}^{k}, u_{\alpha} \right\rangle \right)_{\alpha \in \Phi_{+}}, \left(\left\langle t_{0}^{k}, v_{\alpha} \right\rangle \right) \right)$$

Remarque 2. L'application lisse

$$K/T \longrightarrow \mathfrak{k}$$

 $kT \longmapsto \mathrm{Ad}_k(t_0)$

est un plongement, puisque $t_0 \in \mathfrak{t}_{req}$.

On va maintenant construire une stratification de \mathbb{R}^{2n} dont on va prendre l'image réciproque par σ .

Proposition-Définition 3. Soit $n \in \mathbb{N}^*$. On note $(x_1^1, \ldots, x_1^n, x_2^1, \ldots, x_2^n)$ les coordonnées sur \mathbb{R}^{2n} . Pour une partie non vide I de $\{1, \ldots, n\}$ et une fonction $\varepsilon: I \to \{\pm 1\}$, on pose

$$S_{I,\varepsilon}^R := \{ x \in \mathbb{R}^{2n} \ ; \ x_1^j = 0, \ \forall j, \ x_2^k = 0, \ \forall k \notin I, \ \varepsilon(i) x_2^i > 0, \ \forall i \in I \}$$

et

$$S_{I,\varepsilon}^{L} := \{ x \in \mathbb{R}^{2n} \; ; \; x_1^k = 0, \; \forall k \notin I, \; \varepsilon(i) x_1^i > 0, \; \forall i \in I \}.$$

On obtient alors une stratification de \mathbb{R}^{2n} en $2 \cdot 3^n - 1$ strates :

$$\mathbb{R}^{2n} = \{0\} \sqcup \bigsqcup_{\substack{\emptyset \neq I \subseteq \{1, \dots, n\} \\ \varepsilon: I \to \{\pm 1\}}} \left(S_{I, \varepsilon}^R \sqcup S_{I, \varepsilon}^L \right)$$

et on a

$$\dim S_{I,\varepsilon}^R = |I|, \ \dim S_{I,\varepsilon}^L = n + |I|.$$

Remarque 4. Je ne suis pas sûr qu'il faille absolument cette stratification, j'en voulais juste une avec ces strates-là en dimensions 0 et 1. Si tu en vois d'autres, elles sont bienvenues.

Exemple 5. Pour \mathbb{R}^6 , on a une strate de dimension 0, six strates de dimension 1, douze de dimension 2, huit de dimension 3, six de dimension 4, douze de dimension 5 et huit de dimension 6.

On en arrive à l'espoir ultime :

Conjecture 6. Soient $n := |\Phi_+| = \ell(w_0)$, $\emptyset \neq I \subset \{1, ..., n\}$ et $\varepsilon : I \to \{\pm 1\}$. Alors, $\sigma^{-1}(S_{I,\varepsilon}^R)$ (resp. $\sigma^{-1}(S_{I,\varepsilon}^L)$) est une union de cellules de dimension |I| (resp. n + |I|) de K/T. De plus, ces cellules forment une décomposition cellulaire W-équivariante de K/T.

On va s'intéresser au type A_1 et aux 1-cellules du type A_2 et retrouver le début d'un complexe de $\mathbb{Z}\mathfrak{S}_3$ -modules qu'on a déjà rencontré...

$$K = SU(2)$$

On a ici $\Phi = \{\pm \alpha\}, \; \Phi_+ = \Pi = \{\alpha\}$ et la base de Pauli

$$w_{\alpha} = \frac{1}{2} \begin{pmatrix} i & 0 \\ 0 & -i \end{pmatrix}, \ u_{\alpha} = \frac{1}{2} \begin{pmatrix} 0 & 1 \\ -1 & 0 \end{pmatrix}, \ v_{\alpha} = \frac{1}{2} \begin{pmatrix} 0 & i \\ i & 0 \end{pmatrix}$$

Ensuite, si $g = \begin{pmatrix} a & -\overline{b} \\ b & \overline{a} \end{pmatrix} \in SU(2)$, on calcule

$$Ad_g(w_\alpha) = gw_\alpha g^{-1} = \frac{i}{2} \begin{pmatrix} |a|^2 - |b|^2 & 2a\overline{b} \\ 2\overline{a}b & |b|^2 - |a|^2 \end{pmatrix}$$

On obtient alors

$$\sigma : SU(2)/T \longrightarrow \mathbb{R}^2$$

$$\begin{pmatrix} a & -\overline{b} \\ b & \overline{a} \end{pmatrix} T \longmapsto (-2\operatorname{Im}(a\overline{b}), 2\operatorname{Re}(a\overline{b}))$$

Ensuite, la strates ci-dessus s'écrivent

$$\begin{split} S_1^R := S_{\{1\},+1}^R &= \{(x_1^1, x_2^1) \ ; \ x_1^1 = 0, x_2^1 > 0\}, \ S_{-1}^R := S_{\{1\},-1}^R &= \{(x_1^1, x_2^1) \ ; \ x_1^1 = 0, \ x_2^1 < 0\}, \\ S_1^L := S_{\{1\},+1}^L &= \{(x_1^1, x_2^1) \ ; \ x_1^1 > 0\}, \ S_{-1}^L := S_{\{1\},-1}^L &= \{(x_1^1, x_2^1) \ ; \ x_1^1 < 0\}. \end{split}$$

On a donc

$$\sigma^{-1}(\{0\}) = \{kT \in SU(2)/T \; ; \; a\bar{b} = 0\} = \left\{ \begin{pmatrix} 1 & 0 \\ 0 & 1 \end{pmatrix}, \begin{pmatrix} 0 & -1 \\ 1 & 0 \end{pmatrix} \right\} = W.$$

Ensuite,

$$\sigma^{-1}(S_1^R) = \{kT \in SU(2)/T \; ; \; a\overline{b} > 0\}, \; \sigma^{-1}(S_{-1}^R) = \{kT \in SU(2)/T \; ; \; a\overline{b} < 0\}$$

$$\sigma^{-1}(S_1^L) = \{kT \in SU(2)/T \; ; \; \operatorname{Im}(a\overline{b}) < 0\}, \; \sigma^{-1}(S_{-1}^L) = \{kT \in SU(2)/T \; ; \; \operatorname{Im}(a\overline{b}) > 0\}$$

Par ailleurs, via la projection stéréographique équatoriale, puisqu'on a le difféomorphisme

$$SL_2(\mathbb{C})/B \longrightarrow \mathbb{CP}^1$$
 $\begin{pmatrix} a & c \\ b & d \end{pmatrix} B \longmapsto [a:b]$

on obtient un difféomorphisme

$$\begin{array}{cccc} \phi & : & SU(2)/T & \xrightarrow{\sim} & \mathbb{S}^2 \\ & \begin{pmatrix} a & -\overline{b} \\ b & \overline{a} \end{pmatrix} T & \longmapsto & \left(\frac{2\mathrm{Re}(\overline{a}b)}{|b|^2 + |a|^2}, \frac{2\mathrm{Im}(\overline{a}b)}{|b|^2 + |a|^2}, \frac{|b|^2 - |a|^2}{|b|^2 + |a|^2} \right) \end{array}$$

Et, grâce à cette identification, on a

$$\phi(\sigma^{-1}(S_1^R)) = \{(x,0,z) \in \mathbb{S}^2 \; ; \; x > 0\}, \; \phi(\sigma^{-1}(S_{-1}^R)) = \{(x,0,z) \in \mathbb{S}^2 \; ; \; x < 0\}$$

$$\phi(\sigma^{-1}(S_1^L)) = \{(x,y,z) \in \mathbb{S}^2 \; ; \; y > 0\}, \; \phi(\sigma^{-1}(S_{-1}^L)) = \{(x,y,z) \in \mathbb{S}^2 \; ; \; y < 0\}$$

et

$$\phi(\sigma^{-1}(\{0\})) = \{(0,0,\pm 1)\}.$$

Cela dit, on reconnaît bien là une décomposition cellulaire équivariante de $SU(2)/T = \mathbb{S}^2$.

$$K = SU(3)$$

On va maintenant examiner le cas des $\sigma^{-1}(S)$ où $S \subset \mathbb{R}^6$ est une strate de dimension 1. Tout d'abord, on a $\Phi_+ = \{\alpha, \beta, \alpha + \beta\}$ et la "base de Pauli"

$$\begin{split} u_{\alpha} &:= \frac{1}{2} \begin{pmatrix} 0 & 1 & 0 \\ -1 & 0 & 0 \\ 0 & 0 & 0 \end{pmatrix}, \ v_{\alpha} := \frac{1}{2} \begin{pmatrix} 0 & i & 0 \\ i & 0 & 0 \\ 0 & 0 & 0 \end{pmatrix}, \ w_{\alpha} := \frac{1}{2} \begin{pmatrix} i & 0 & 0 \\ 0 & -i & 0 \\ 0 & 0 & 0 \end{pmatrix}, \\ u_{\beta} &:= \frac{1}{2} \begin{pmatrix} 0 & 0 & 0 \\ 0 & 0 & 1 \\ 0 & -1 & 0 \end{pmatrix}, \ v_{\beta} := \frac{1}{2} \begin{pmatrix} 0 & 0 & 0 \\ 0 & 0 & i \\ 0 & -i & 0 \end{pmatrix}, \ w_{\beta} := \frac{1}{2} \begin{pmatrix} 0 & 0 & 0 \\ 0 & i & 0 \\ 0 & 0 & -i \end{pmatrix}, \\ u_{\alpha+\beta} &:= \frac{1}{2} \begin{pmatrix} 0 & 0 & 1 \\ 0 & 0 & 0 \\ -1 & 0 & 0 \end{pmatrix}, \ v_{\alpha+\beta} := \frac{1}{2} \begin{pmatrix} 0 & 0 & i \\ 0 & 0 & 0 \\ i & 0 & 0 \end{pmatrix}, \ w_{\alpha+\beta} = w_{\alpha} + w_{\beta} = \frac{1}{2} \begin{pmatrix} i & 0 & 0 \\ 0 & 0 & 0 \\ 0 & 0 & -i \end{pmatrix}. \end{split}$$

Ensuite, on a des représentants pour le groupe de Weyl

$$W = \mathfrak{S}_3 = \{1, s_{\alpha}, s_{\beta}, s_{\alpha}s_{\beta}, s_{\beta}s_{\alpha}, w_0 = s_{\alpha}s_{\beta}s_{\alpha} = s_{\beta}s_{\alpha}s_{\beta}\}$$

$$=\left\{\begin{pmatrix}1&0&0\\0&1&0\\0&0&1\end{pmatrix},\begin{pmatrix}0&-1&0\\1&0&0\\0&0&1\end{pmatrix},\begin{pmatrix}1&0&0\\0&0&-1\\0&1&0\end{pmatrix},\begin{pmatrix}0&0&1\\1&0&0\\0&1&0\end{pmatrix},\begin{pmatrix}0&-1&0\\0&0&-1\\1&0&0\end{pmatrix},\begin{pmatrix}0&0&1\\0&-1&0\\1&0&0\end{pmatrix}\right\}.$$

On prend ensuite $t_0 := w_{\alpha}$ et, pour $g = \begin{pmatrix} a & d & g \\ b & e & h \\ c & f & j \end{pmatrix} \in SU(3)$, on a

$$\operatorname{Ad}_{g}(t_{0}) = gw_{\alpha}g^{-1} = \frac{i}{2} \begin{pmatrix} |a|^{2} - |d|^{2} & a\overline{b} - d\overline{e} & a\overline{c} - d\overline{f} \\ \overline{a}b - \overline{d}e & |b|^{2} - |e|^{2} & b\overline{c} - e\overline{f} \\ \overline{a}c - \overline{d}f & \overline{b}c - \overline{e}f & |c|^{2} - |f|^{2} \end{pmatrix} \in \mathfrak{su}(3)$$

D'après l'exemple 1, on peut prendre pour produit scalaire $\langle x, y \rangle = -\text{tr}(xy)$. On a l'application lisse

$$\sigma: SU(3)/T \longrightarrow \mathbb{R}^{6}$$

$$kT \longmapsto \left(\left\langle w_{\alpha}^{k}, u_{\alpha}\right\rangle, \left\langle w_{\alpha}^{k}, u_{\beta}\right\rangle, \left\langle w_{\alpha}^{k}, u_{\alpha+\beta}\right\rangle, \left\langle w_{\alpha}^{k}, v_{\alpha}\right\rangle, \left\langle w_{\alpha}^{k}, v_{\beta}\right\rangle, \left\langle w_{\alpha}^{k}, v_{\alpha+\beta}\right\rangle\right)$$

On a d'abord clairement

$$\sigma^{-1}(\{0\}) = \{kT \in SU(3)/T ; w_{\alpha}^k \in \mathfrak{t}\} = W.$$

Considérons ensuite les strates de dimension 1 de \mathbb{R}^6 . On notera $E_{I,\varepsilon}^{R,L} := \sigma^{-1}(S_{I,\varepsilon}^{R,L})$. On a par exemple

$$\sigma^{-1}(S_{\{3\},+1}^R) = \left\{ kT \in SU(3)/T \; ; \; \forall \delta \in \Phi_+, \; \left\langle w_\alpha^k, u_\delta \right\rangle = \left\langle w_\alpha^k, v_\alpha \right\rangle = \left\langle w_\alpha^k, v_\beta \right\rangle = 0, \; \left\langle w_\alpha^k, v_{\alpha+\beta} \right\rangle > 0 \right\}$$
$$= \left\{ kT \in SU(3)/T \; ; \; \forall \delta \in \Phi_+, \; \operatorname{tr}\left(w_\alpha^k u_\delta\right) = \operatorname{tr}\left(w_\alpha^k v_\alpha\right) = \operatorname{tr}\left(w_\alpha^k v_\beta\right) = 0, \; \operatorname{tr}\left(w_\alpha^k v_{\alpha+\beta}\right) < 0 \right\}.$$

On obtient alors

$$E^R_{\{3\},+1} = \left\{ \begin{pmatrix} a & d & g \\ b & e & h \\ c & f & j \end{pmatrix} T \in SU(3)/T \; ; \; a\overline{b} - d\overline{e} = b\overline{c} - e\overline{f} = 0, \; a\overline{c} - d\overline{f} > 0 \right\}.$$

Soit donc un représentant $k:=\begin{pmatrix} a&d&g\\b&e&h\\c&f&j \end{pmatrix}\in SU(3)$ d'une classe de $E^R_{\{3\},+1}$. Notons $\lambda:=$

 $a\overline{c}-d\overline{f}\in\mathbb{R}_+^*$. Puisque $k\in SU(3)$, on a $g\overline{h}+d\overline{e}+a\overline{b}=0$ et, puisque $a\overline{b}=d\overline{e}$, ceci devient $g\overline{h}=-2d\overline{e}$ et de même, $h\overline{j}=-2e\overline{f}$. En multipliant ces deux équations, on obtient $g\overline{j}|h|^2=4d\overline{f}|e|^2$, soit encore, en utilisant le fait que $g\overline{j}+d\overline{f}+a\overline{c}=0$:

$$\mathbb{R}_{-} \ni -\lambda |h|^2 = 2d\overline{f}(2|e|^2 + |h|^2). \tag{1}$$

Distinguons plusieurs cas:

1. Si $e \neq 0$, $h \neq 0$, alors l'équation ci-dessus entraı̂ne que $d\overline{f} \in \mathbb{R}_{-}^{*}$ et $g\overline{j} \in \mathbb{R}_{-}^{*}$. Ces deux dernières conditions, couplées au fait que $a\overline{c} + d\overline{f} + g\overline{j} = 0$ donnent $a\overline{c} \in \mathbb{R}_{+}^{*}$. Ensuite, puisque $d\overline{f} \in \mathbb{R}_{-}^{*}$, on a aussi $d\overline{f}|e|^{2} \in \mathbb{R}_{-}^{*}$, mais $d\overline{f}e\overline{e} = db\overline{c}\overline{e} = b\overline{c}d\overline{e} = b\overline{c}a\overline{b} = a\overline{c}|b|^{2}$ et donc $a\overline{c}|b|^{2} = d\overline{f}|e|^{2} \in \mathbb{R}_{-}^{*}$, d'où $a\overline{c} \in \mathbb{R}_{+}^{*} \cap \mathbb{R}_{-}^{*}$; une contradiction.

2. Si $e \neq 0$, h = 0, l'équation 1 donne $d\overline{f} = 0$. Si d = 0, alors $a\overline{b} = 0$ et, puisque $a\overline{c} \in \mathbb{R}_+^*$, on doit avoir b = 0, ce qui entraîne encore, via le fait que $b\overline{c} = e\overline{f}$, que f = 0. Dans tous les cas, on a b = d = f = h = 0, donc |e| = 1 et k est donc de la forme $k = \begin{pmatrix} a & 0 & g \\ b & 0 & 0 \\ c & 0 & j \end{pmatrix}$ qui, modulo T, est égale à une matrice de la forme

$$k = \begin{pmatrix} a & 0 & -\overline{b} \\ 0 & 1 & 0 \\ b & 0 & \overline{a} \end{pmatrix}$$

avec $|a|^2 + |b|^2 = 1$ et $a\bar{b} > 0$.

3. Si e = 0, $h \neq 0$, alors $g\overline{j} = 0$. On a donc $a\overline{c} + d\overline{f} = 0$, soit encore $-2d\overline{f} = \lambda \in \mathbb{R}_+^*$. En particulier, on doit avoir $d \neq 0$ et $f \neq 0$. De plus, on a $a\overline{b} = d\overline{e} = 0$ et $b\overline{c} = \overline{f}e = 0$. Ceci entraı̂ne que b = 0, donc |h| = 1 et de plus, g = j = 0. La matrice k est donc, modulo T, de la forme

$$k = \begin{pmatrix} a & \overline{b} & 0 \\ 0 & 0 & 1 \\ b & -\overline{a} & 0 \end{pmatrix}$$

avec $|a|^2 + |b|^2 = 1$ et $a\overline{b} > 0$.

4. Enfin, si e = h = 0, alors |f| = 1 et ceci donne a = c = 0. La matrice k est donc, modulo T, de la forme

$$k = \begin{pmatrix} 0 & a & \overline{b} \\ 1 & 0 & 0 \\ 0 & b & -\overline{a} \end{pmatrix}.$$

avec $|a|^2 + |b|^2 = 1$ et $a\overline{b} < 0$.

Par ailleurs, de façon analogue au cas de SU(2), on voit facilement qu'une partie de SU(3)/T de la forme $\left\{\begin{pmatrix} a & \overline{b} & 0 \\ 0 & 0 & 1 \\ b & -\overline{a} & 0 \end{pmatrix}T$; $a\overline{b} > 0 \right\}$ est bien homéomorphe à une 1-cellule. On a donc obtenu une décomposition cellulaire

$$\begin{split} E^R_{\{3\},+1} &= \left\{ \begin{pmatrix} a & \overline{b} & 0 \\ 0 & 0 & 1 \\ b & -\overline{a} & 0 \end{pmatrix} T \; ; \; a\overline{b} > 0 \right\} \sqcup \left\{ \begin{pmatrix} a & 0 & -\overline{b} \\ 0 & 1 & 0 \\ b & 0 & \overline{a} \end{pmatrix} T \; ; \; a\overline{b} > 0 \right\} \sqcup \left\{ \begin{pmatrix} 0 & a & \overline{b} \\ 1 & 0 & 0 \\ 0 & b & -\overline{a} \end{pmatrix} T \; ; \; a\overline{b} < 0 \right\} \\ &=: e^{w_0,3}_{11} \cup e^{w_0,2}_{11} \cup e^{w_0,1}_{11}. \end{split}$$

De la même manière, on peut calculer que

$$\begin{split} E^R_{\{3\},-1} &= \left\{ \begin{pmatrix} a & \overline{b} & 0 \\ 0 & 0 & 1 \\ b & -\overline{a} & 0 \end{pmatrix} T \; ; \; a\overline{b} < 0 \right\} \sqcup \left\{ \begin{pmatrix} a & 0 & -\overline{b} \\ 0 & 1 & 0 \\ b & 0 & \overline{a} \end{pmatrix} T \; ; \; a\overline{b} < 0 \right\} \sqcup \left\{ \begin{pmatrix} 0 & a & \overline{b} \\ 1 & 0 & 0 \\ 0 & b & -\overline{a} \end{pmatrix} T \; ; \; a\overline{b} > 0 \right\} \\ &=: e^{w_0,3}_{12} \cup e^{w_0,2}_{12} \cup e^{w_0,1}_{12}. \end{split}$$

Ensuite, en utilisant les représentants de \mathfrak{S}_3 dans SU(3), et en notant $e_1^{w_0} := e_{12}^{w_0,2}$, on calcule

$$e_{11}^{w_0,1} = e_1^{w_0} \cdot s_\alpha, \ e_{11}^{w_0,2} = e_1^{w_0} \cdot w_0, \ e_{11}^{w_0,3} = e_1^{w_0} \cdot s_\beta s_\alpha, \ e_{12}^{w_0,1} = e_1^{w_0} \cdot s_\alpha s_\beta, \ e_{12}^{w_0,3} = e_1^{w_0} \cdot s_\beta.$$

Ainsi, en notant $E_1^{\alpha+\beta}:=\{e_{1,i}^{w_0,j},\ i=1,2,\ j=1,2,3\}$, on a un isomorphisme de \mathfrak{S}_3 -modules

$$\mathbb{Z}E_{\{3\}}^R \simeq \mathbb{Z}\mathfrak{S}_3 \langle e_1^{w_0} \rangle \simeq \mathbb{Z}\mathfrak{S}_3.$$

Ensuite, on a immédiatement

$$\overline{e_1^{w_0}} = \left\{ \begin{pmatrix} a & 0 & -\overline{b} \\ 0 & 1 & 0 \\ b & 0 & \overline{a} \end{pmatrix}, \ a\overline{b} \le 0 \right\} = e_1^{w_0} \cup \{1, w_0\}$$

d'où

$$\partial e_1^{w_0} = \{1, w_0\} \le W.$$

En notant

$$d_1: C_1(K/T, \mathbb{Z}) \to C_0(K/T, \mathbb{Z}) \simeq \mathbb{Z}\mathfrak{S}_3$$

la différentielle dans le complexe W-cellulaire (hypothétique) de K/T, on obtient que

$$d_1(e_1^{w_0}) = 1 - w_0.$$

On peut représenter la situation par une sorte de "sous-graphe GKM" :

En utilisant la même méthode que ci-dessus, on a

$$E_{\{2\},+1}^R := \sigma^{-1}(S_{\{2\},+1}^R)$$

$$= \left\{ kT \in SU(3)/T \; ; \; \forall \delta \in \Phi_+, \; \left\langle w_\alpha^k, u_\delta \right\rangle = \left\langle w_\alpha^k, v_\alpha \right\rangle = \left\langle w_\alpha^k, v_{\alpha+\beta} \right\rangle = 0, \; \left\langle w_\alpha^k, v_\beta \right\rangle > 0 \right\}$$

$$= \left\{ \begin{pmatrix} a & d & g \\ b & e & h \\ c & f & j \end{pmatrix} T \in SU(3)/T \; ; \; a\bar{b} - d\bar{e} = a\bar{c} - d\bar{f} = 0, \; b\bar{c} - e\bar{f} > 0 \right\}$$

$$= \left\{ \begin{pmatrix} 0 & 0 & 1 \\ a & -\bar{b} & 0 \\ b & \bar{a} & 0 \end{pmatrix} \; ; \; a\bar{b} > 0 \right\} \sqcup \left\{ \begin{pmatrix} 0 & 1 & 0 \\ a & 0 & \bar{b} \\ b & 0 & -\bar{a} \end{pmatrix} \; ; \; a\bar{b} > 0 \right\} \sqcup \left\{ \begin{pmatrix} 1 & 0 & 0 \\ 0 & a & -\bar{b} \\ 0 & b & \bar{a} \end{pmatrix} \; ; \; a\bar{b} < 0 \right\}$$

$$=: e_{11}^{s_\beta,3} \cup e_{11}^{s_\beta,2} \cup e_{11}^{s_\beta,1},$$

et $E^R_{\{2\},-1} := \sigma^{-1}(S^R_{\{2\},-1})$

$$= \left\{ kT \in SU(3)/T \; ; \; \forall \delta \in \Phi_+, \; \left\langle w_\alpha^k, u_\delta \right\rangle = \left\langle w_\alpha^k, v_\alpha \right\rangle = \left\langle w_\alpha^k, v_{\alpha+\beta} \right\rangle = 0, \; \left\langle w_\alpha^k, v_\beta \right\rangle < 0 \right\}$$

$$\begin{split} &= \left\{ \begin{pmatrix} a & d & g \\ b & e & h \\ c & f & j \end{pmatrix} T \in SU(3)/T \; ; \; a\overline{b} - d\overline{e} = a\overline{c} - d\overline{f} = 0, \; b\overline{c} - e\overline{f} < 0 \right\} \\ &= \left\{ \begin{pmatrix} 0 & 0 & 1 \\ a & -\overline{b} & 0 \\ b & \overline{a} & 0 \end{pmatrix} \; ; \; a\overline{b} < 0 \right\} \sqcup \left\{ \begin{pmatrix} 0 & 1 & 0 \\ a & 0 & \overline{b} \\ b & 0 & -\overline{a} \end{pmatrix} \; ; \; a\overline{b} < 0 \right\} \sqcup \left\{ \begin{pmatrix} 1 & 0 & 0 \\ 0 & a & -\overline{b} \\ 0 & b & \overline{a} \end{pmatrix} \; ; \; a\overline{b} > 0 \right\} \\ &=: e_{12}^{s_{\beta},3} \cup e_{12}^{s_{\beta},2} \cup e_{12}^{s_{\beta},1}. \end{split}$$

En notant $e_1^{s_\beta} := e_{11}^{s_\beta,1}$, il vient

$$e_{11}^{s_{\beta},2} = e_{1}^{s_{\beta}} \cdot s_{\beta} s_{\alpha}, \ e_{11}^{s_{\beta},3} = e_{1}^{s_{\beta}} \cdot w_{0}, \ e_{12}^{s_{\beta},1} = e_{1}^{s_{\beta}} \cdot s_{\beta}, \ e_{12}^{s_{\beta},2} = e_{1}^{s_{\beta}} \cdot s_{\alpha}, \ e_{12}^{s_{\beta},3} = e_{1}^{s_{\beta}} \cdot s_{\alpha} s_{\beta},$$

d'où, avec $E_1^{\beta} := \{e_{1,i}^{s_{\beta},j}, i = 1, 2, j = 1, 2, 3\},\$

$$\mathbb{Z}E_{\{2\}}^R \simeq \mathbb{Z}\mathfrak{S}_3 \left\langle e_1^{s_\beta} \right\rangle \simeq \mathbb{Z}\mathfrak{S}_3.$$

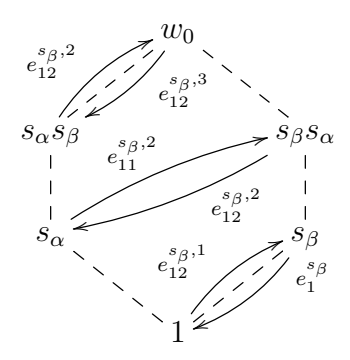
On a ensuite

$$\partial e_1^{s_\beta} = \{1, s_\beta\}$$

et

$$d_1(e_1^{s_\beta}) = 1 - s_\beta.$$

En termes de graphe GKM, cela donne



Enfin, on peut calculer

$$\begin{split} E^R_{\{1\},+1} &:= \sigma^{-1}(S^R_{\{1\},+1}) \\ &= \left\{ kT \in SU(3)/T \; ; \; \forall \delta \in \Phi_+, \; \left\langle w^k_\alpha, u_\delta \right\rangle = \left\langle w^k_\alpha, v_\beta \right\rangle = \left\langle w^k_\alpha, v_{\alpha+\beta} \right\rangle = 0, \; \left\langle w^k_\alpha, v_\alpha \right\rangle > 0 \right\} \\ &= \left\{ \begin{pmatrix} a & d & g \\ b & e & h \\ c & f & j \end{pmatrix} T \in SU(3)/T \; ; \; b\bar{c} - e\bar{f} = a\bar{c} - d\bar{f} = 0, \; a\bar{b} - d\bar{e} > 0 \right\} \\ &= \left\{ \begin{pmatrix} a & -\bar{b} & 0 \\ b & \bar{a} & 0 \\ 0 & 0 & 1 \end{pmatrix} \; ; \; a\bar{b} > 0 \right\} \sqcup \left\{ \begin{pmatrix} a & 0 & \bar{b} \\ b & 0 & -\bar{a} \\ 0 & 1 & 0 \end{pmatrix} \; ; \; a\bar{b} > 0 \right\} \sqcup \left\{ \begin{pmatrix} 0 & a & -\bar{b} \\ 0 & b & \bar{a} \\ 1 & 0 & 0 \end{pmatrix} \; ; \; a\bar{b} < 0 \right\} \\ &=: e^{s_\alpha,3}_{11} \cup e^{s_\alpha,2}_{11} \cup e^{s_\alpha,1}_{11}, \end{split}$$

et

$$E_{\{1\},-1}^R := \sigma^{-1}(S_{\{1\},-1}^R)$$

$$= \left\{ kT \in SU(3)/T \; ; \; \forall \delta \in \Phi_+, \; \left\langle w_\alpha^k, u_\delta \right\rangle = \left\langle w_\alpha^k, v_\beta \right\rangle = \left\langle w_\alpha^k, v_{\alpha+\beta} \right\rangle = 0, \; \left\langle w_\alpha^k, v_\alpha \right\rangle < 0 \right\}$$

$$\begin{split} &= \left\{ \begin{pmatrix} a & d & g \\ b & e & h \\ c & f & j \end{pmatrix} T \in SU(3)/T \; ; \; b\overline{c} - e\overline{f} = a\overline{c} - d\overline{f} = 0, \; a\overline{b} - d\overline{e} < 0 \right\} \\ &= \left\{ \begin{pmatrix} a & -\overline{b} & 0 \\ b & \overline{a} & 0 \\ 0 & 0 & 1 \end{pmatrix} \; ; \; a\overline{b} < 0 \right\} \sqcup \left\{ \begin{pmatrix} a & 0 & \overline{b} \\ b & 0 & -\overline{a} \\ 0 & 1 & 0 \end{pmatrix} \; ; \; a\overline{b} < 0 \right\} \sqcup \left\{ \begin{pmatrix} 0 & a & -\overline{b} \\ 0 & b & \overline{a} \\ 1 & 0 & 0 \end{pmatrix} \; ; \; a\overline{b} > 0 \right\} \\ &=: e_{12}^{s_{\alpha},3} \cup e_{12}^{s_{\alpha},2} \cup e_{12}^{s_{\alpha},1}. \end{split}$$

Puis, avec $e_1^{s_\alpha} := e_{12}^{s_\alpha,3}$, on obtient

$$e_{11}^{s_{\alpha},1} = e_{1}^{s_{\alpha}} \cdot s_{\beta} s_{\alpha}, \ e_{11}^{s_{\alpha},2} = e_{1}^{s_{\alpha}} \cdot s_{\alpha} s_{\beta}, \ e_{11}^{s_{\alpha},3} = e_{1}^{s_{\alpha}} \cdot s_{\alpha}, \ e_{12}^{s_{\alpha},1} = e_{1}^{s_{\alpha}} \cdot w_{0}, \ e_{12}^{s_{\alpha},2} = e_{1}^{s_{\alpha}} \cdot s_{\beta},$$
 et donc, si $E_{1}^{\alpha} := \{e_{1,i}^{s_{\alpha},j}, \ i = 1, 2, \ j = 1, 2, 3\},$

$$\mathbb{Z}E_{\{1\}}^R \simeq \mathbb{Z}\mathfrak{S}_3 \langle e_1^{s_\alpha} \rangle \simeq \mathbb{Z}\mathfrak{S}_3.$$

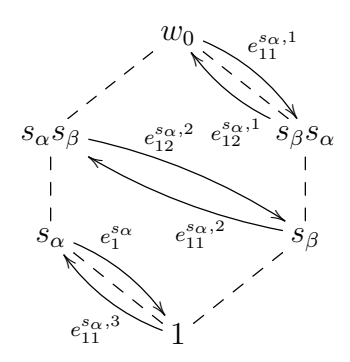
On a finalement

$$\partial e_1^{s_\alpha} = \{1, s_\alpha\},\,$$

et

$$d_1(e_1^{s_\alpha}) = 1 - s_\alpha.$$

La partie du graphe GKM s'écrit ici évidemment



Cela étant, vue la stratification de \mathbb{R}^6 donné par la Proposition-Définition 3 et le fait que

la topologie de SU(3)/T est la topologie quotient de SU(3), l'image réciproque de cette stratification par l'application propre $\sigma: SU(3)/T \to \mathbb{R}^6$ donne une stratification de SU(3)/T:

$$SU(3)/T = W \sqcup \bigsqcup_{\substack{\emptyset \neq I \subseteq \{1,2,3\}\\ \varepsilon: I \to \{\pm 1\}}} \left(E_{I,\varepsilon}^R \sqcup E_{I,\varepsilon}^L \right),$$

où l'on a noté $E^{R,L}_{I,\varepsilon}:=\sigma^{-1}(S^{R,L}_{I,\varepsilon}).$ On a donc finalement obtenu la

Proposition 7. Il existe une stratification de la variété de drapeaux :

$$SU(3)/T = W \sqcup \bigsqcup_{\substack{\emptyset \neq I \subseteq \{1,2,3\} \\ \varepsilon: I \to \{+1\}}} \left(E_{I,\varepsilon}^R \sqcup E_{I,\varepsilon}^L \right)$$

dont les strates sont de dimensions

$$\dim E_{I,\varepsilon}^R = |I|, \dim E_{I,\varepsilon}^L = |I| + 3$$

et telle que les six strates de dimension 1 (données par les $E^R_{\{i\},\pm 1}$, avec i=1,2,3) soient des unions de 1-cellules. Si l'on note $E_1:=E^\alpha_1\cup E^\beta_1\cup E^{\alpha+\beta}_1$ l'ensemble de ces 1-cellules, alors \mathfrak{S}_3 agit librement à droite sur E_1 et l'on a un isomorphisme de $\mathbb{Z}\mathfrak{S}_3$ -modules à droite

$$\mathbb{Z}E_1 \simeq (\mathbb{Z}\mathfrak{S}_3)^3$$
.

Enfin, l'application "bord"

$$d_1: \mathbb{Z}E_1 \to \mathbb{Z}\mathfrak{S}_3$$

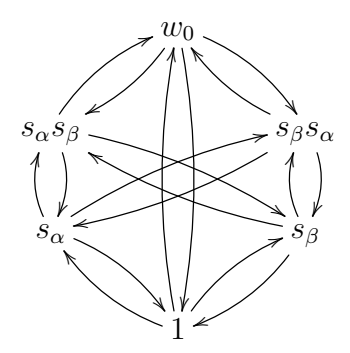
et donnée par multiplication à gauche par la matrice ligne

$$(1 - s_{\alpha} \quad 1 - s_{\beta} \quad 1 - w_0)$$

et, en particulier, on a un isomorphisme de $\mathbb{Z}\mathfrak{S}_3$ -modules à droite

$$\operatorname{coker}(d_1) \simeq H_0(SU(3)/T, \mathbb{Z}) \simeq \mathbb{Z}.$$

Remarque 8. On peut représenter les 1-cellules ci-dessus dans le graphe GKM:



On voit immédiatement que l'argument permettant de montrer que σ donne bien une stratification de SU(3)/T fonctionne encore dans le cas général :

Proposition 9. La stratification de la Proposition-Définition 3 induit, via l'application propre $\sigma: K/T \to \mathbb{R}^{2\ell(w_0)}$, une stratification de K/T en $2 \cdot 3^{\ell(w_0)} - 1$ strates

$$K/T = W \sqcup \bigsqcup_{\substack{\emptyset \neq I \subseteq \{1, \dots, \ell(w_0)\}\\ \varepsilon: I \to \{\pm 1\}}} \left(E_{I, \varepsilon}^R \sqcup E_{I, \varepsilon}^L \right),$$

dont les dimensions sont données par

$$\dim E_{I,\varepsilon}^R = |I| \quad et \quad \dim E_{I,\varepsilon}^L = |I| + \ell(w_0).$$

Rappelons enfin l'espoir derrière tout cela :

Conjecture 10. Chaque strate E de la décomposition

$$K/T = W \sqcup \bigsqcup_{\substack{\emptyset \neq I \subseteq \{1, \dots, \ell(w_0)\}\\ \varepsilon : I \to \{+1\}}} \left(E_{I, \varepsilon}^R \sqcup E_{I, \varepsilon}^L \right)$$

est une union de cellules de dimension $\dim E$ et ces dernières fournissent une décomposition cellulaire W-équivariante de K/T.